

京都大学防災研究所 正員 中川博次  
京都大学大学院 学生員 武内 等

1. まえがき 放水路計画ではまず与えられた水路および水理条件に対する流量配分比を決定するためには、それが分歧水路の背水特性や分歧端での力学的条件にいかに影響されるかを明らかにせねばならない。さらには分歧部での表層流線と底層流線との間の顕著なねじれが流砂配分比に大きい影響を及ぼすから、放水路設置に伴なう河道計画をたてる上で分歧部での流れの機構を解明することは、きわめて重要な課題である。本報告は分歧機構を研究するための一歩として、水路形状が決まつた開水路分歧について流量配分比と分歧部での2,3の流れの特性について考察したものである。

2. 実験概要 実験水路の諸元は次のとおりである。水路幅：主、支水路とも40cm、水路長：主水路11.8m（分歧部より上流5.6m、下流5.4m）、分歧開口部0.8m、分歧部のみ透明アクリル樹脂製、他はラワン木製）、支水路3.6m、分歧角度：30度、水路床こう配：1/1,000。広範な下流水位条件に対する流量配分比の変化を求めるために、主、分歧部下流端に水位調節用セキシを設け、その水位-流量関係で下流端条件を定めた。流向と剥離領域の特性を明らかにするために水面および水路底での流跡線をトレーサーを用いた写真撮影によって求めた。流速測定にはピトー管および回転式小型流速計が併用された。

3. 流量配分比Kの考察 常流分水工の流れは分歧部での局所現象および分歧後の複数の下流水位条件に支配されるから、理論的に明確に流量配分比Kを決定することは困難である。通常用いられてる背水計算法によると実用上十分な精度で推定しうるものとされていても、分歧損失や合流境界線の決定法に問題が残される。<sup>1)</sup>室田は分流機構を一連幅水路での開口部からの対称流出と一樣流との重ね合わせとして取扱い、一樣流が流出に與与しないことから大半を上流フルード数のみの関係として与え、実験値との良好な一致をえている。ここでは実験的考察により見出された主水路上下流での水理量相互の関係を用いて半理論的に大きさを求めることした。すなわち主水路の上下流で一樣流況を呈するとみなされる断面UおよびMで測定された比エネルギーの値はたぶん分歧端流れに關係なく変化しないことが認められる。またJ、M断面および支水路下流断面Bを検査面とする主水路方向の運動量方程式は分歧部での支水路側水深を $(h_u + h_b)/2$ と仮定すれば次式で与えられる。

$$(PQ_u^2/bh_u) + (pgb h_u^2/2) + (pgb \cos\theta/2)(h_u + h_b)^2 = (PQ_m^2/bh_m) + (pgb h_m^2/2) + (pgb h_b^2 \cos\theta/2) \quad \dots(1)$$

ここで Q: 流量、h: 水深、θ: 分岐角であり、添字 u, m, b はそれぞれ断面 U, M, B での値を表す。主、支水路の下流端条件はそれぞれの全幅セキシの流量表示式で表わされるものとする。すなわち、

$$Q = Cb(h-W)/2g(h-W) \quad \dots(2)$$

ここで C: 流量係数、W: セキ高である。いま、 $Q_b/Q_u = K$ 、 $h_m/h_u = \gamma_m$ 、 $h_b/h_u = \gamma_b$ 、 $W_m/h_u = \delta_m$ 、 $W_b/h_u = \delta_b$ 、 $W_b/W_m = w$ 、 $Q_b/b\sqrt{gh_u} = F_u$  など無次元量を導入すると、次の各条件式が求められる。

$$\text{運動量式: } 2\gamma_u^2 + 1 + (1 + \gamma_b/2)^2 \cos\theta = \{2(1-K)^2 \gamma_u^2 / \gamma_m\} + (2K^2 \gamma_u^2 \cos\theta / \gamma_b) + \gamma_m^2 + \gamma_b^2 \cos\theta \quad \dots(3)$$

$$\text{主水路下流端条件式: } (1-K)F_u = \sqrt{2} C_m (\gamma_m - \delta_m)^{3/2} \quad \dots(4)$$

$$\text{支水路下流端条件式: } K F_u = \sqrt{2} C_b (\gamma_b - \delta_b)^{3/2} \quad \dots(5)$$

$$\text{比エネルギー一定の条件式: } 2g_m + (1-k)^2 F_u^2 = (2+F_u^2) h_m^2 \dots (6)$$

既知量  $Q_u$  に対する(3)～(6)式を直接解くことはきわめて煩雑であるから、ここでは  $F_u$  を与えて  $W=1.0 \sim 2.6$  の間の  $k$  の値を計算し、その結果を図-1に示した。計算では流量係数の値として実験で得られた平均値  $C_m = C_b = 0.58$  を採用した。図中の破線より上の領域では  $h_m > h_b$  となり、 $W$  の一定値に対し  $F_u$  の増大とともに  $k$  は増加する。逆に破線より下の領域では  $h_m < h_b$  であり、 $F_u$  の増加とともに  $k$  が減少する。多くの実験値と比較のため示したが、主水路上下流水位差が小さい場合には理論値との満足すべき一致が認められる。たゞ水位差が大きいときには、分歧部での局所的射流の発生などによって分歧端での水深に関する先の仮定が満足されず、したがって実験値と理論値との間にかなりの差異が現われた。

4. 分岐損失と剝離領域 支水路の分歧端より下流には顕著な剝離渦領域が発達し、とくに  $k$  の値が小さいか、あるいは  $W$  の値が大きい場合には左岸側の剝離域は支水路下流端まで緩慢に発達することが認められた。いま、 $k < 0.5$  の範囲で分歧水路内での流速測定と半真解釈によって求められた水面での最大剝離幅比 ( $1-\alpha$ ) と分岐損失係数  $f_d = 2g H_e / U_b^2$  ( $H_e$ : 分岐損失水頭、 $U_b$ : 支水路下流端での平均流速) の関係を図示したのが図-2である。剝離幅が大きくなるとともに損失係数が急激に増大する傾向が認められた。

5. ポテンシャル流れとしての分歧部流れの考察 粘性の影響が卓越する水路底近傍を除き、分歧部での流れは一般に二次元ポテンシャル流れとしての特性を示すものと考えられ、このような立場で理論解釈を行ない、実際現象と比較検討した。  
(1) 収縮係数と流出角 一様流れの一走幅の水路に設けられた開口部から流れの一部が流出する場合を考える。流れは二次元流として取扱いうるものとし、また水路の外では圧力は大気圧とする。いま、分歧流および主流に関するエネルギー保存の関係から次式がえられた。

$$(p_0/\rho g) + (U_b^2/2g) = (p_m/\rho g) + (U_m^2/2g) \dots (7)$$

また  $x$  軸方向の運動量式は次式で表わされる。

$$p Q_u U_n - p(1-k) Q_u U_m = p k Q_u U_b \cos \theta_0 + p_m b h_m - p_{ub} b h_u \dots (8)$$

上下流での一樣流条件から、 $Q_u = b h_u U_n$ 、 $(1-k) Q_u = b h_m U_m$ 、 $k Q_u = n b h_b U_b$  ( $n$ : 開口比) があり、 $h_u = h_m = h$  とすると、(7)および(8)式からかく流出角  $\theta_0$  の関係を表わす次式が得られる。

$$\sigma = 2k \cos \theta_0 / n(2-k) \dots (9)$$

(2) 写像計算 図-3に示す物理平面  $X = x + i\psi$  と複素ポテンシャル平面  $W = \phi + i\psi$  の関係を写像計算によって求めると、それには速度平面  $\zeta = (1/W)$   $xe^{i\theta}$  から  $\Omega$  平面  $\Omega = \log U_b \zeta = \log(U_b/\rho g) + i\theta$  に変換し、さらに Schwarz-Christoffel の変換によって  $\zeta$  平面  $\zeta = i(\pi - 8 \operatorname{sec}^{-1} t)$  に写像すると、 $X$  平面上の  $J_a J_a'$ 、 $I_a I_a'$  および  $L_a L_a'$  に対応した  $\zeta$  平面上の値とし、それぞれ次式で示される  $\alpha$ 、 $\beta$  および  $\gamma$  が定まる。

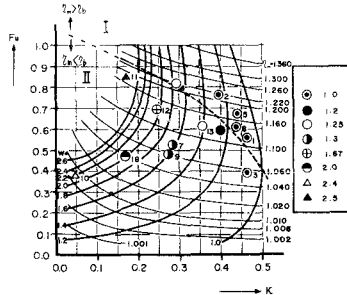


図-1  $k$  の変化

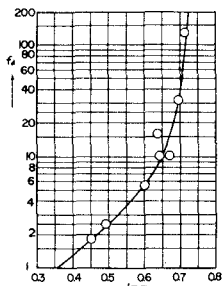


図-2 分岐損失係数と剝離幅

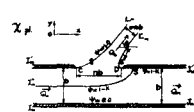


図-3 物理平面

$$\alpha = -2/\left(\frac{1-k}{kn\sigma} + \frac{k\sigma}{1-k}\right), \quad \beta = -2/\left(\frac{1-k}{n\sigma} + \frac{n\sigma}{1-k}\right), \quad \gamma = -1/\cos\theta_0 \quad \dots \dots \dots (10)$$

また W 平面から X 平面への変換によつて次式の関係がえられる。

$$W = \frac{k}{\pi} \left\{ \frac{\alpha(\beta-\gamma)}{\gamma(\beta-\alpha)} \log\left(1-\frac{t}{2}\right) + \frac{\beta(\alpha-\gamma)}{\gamma(\alpha-\beta)} \log\left(1-\frac{t}{\beta}\right) - \log\left(1-\frac{t}{\gamma}\right) \right\} + (1-k)t \quad \dots \dots \dots (11)$$

これらの関係式によつて X 平面と W 平面との関係を求めることができます。すなわち  $\gamma$  を助数とし  $\gamma$  は次式によつて定められる。

$$X = -\frac{k}{\pi u_b r} \left[ \frac{\beta-\gamma}{\alpha-\beta} \log \frac{(t-\beta)(\alpha-1)}{t(t-\alpha)(\beta-1)} + \log \frac{(t-\gamma)(\gamma-1)}{t(t-\gamma)(\beta-1)} + 2i \left\{ \frac{(\beta-\gamma)/1-\alpha^2}{\alpha-\beta} \tan^{-1} \frac{\sqrt{(t+1)(\alpha-1)}}{(t-1)(\alpha+1)} - \frac{(\alpha-\gamma)/1-\beta^2}{(\alpha-\beta)} \tan^{-1} \frac{\sqrt{(t+1)(\beta-1)}}{(t-1)(\beta+1)} \right. \right. \\ \left. \left. - \frac{\sqrt{\gamma^2-1}}{2} \log \left( \frac{\sqrt{\frac{t+1}{t-1}} - \sqrt{\frac{\gamma+1}{\gamma-1}}}{\sqrt{\frac{t+1}{t-1}} + \sqrt{\frac{\gamma+1}{\gamma-1}}} \right) + \frac{\pi(\alpha-\gamma)/1-\beta^2}{2(\alpha-\beta)} - \frac{\pi(\beta-\gamma)/1-\alpha^2}{2(\alpha-\beta)} \right\} \right] \quad \dots \dots \dots (12)$$

$t = -1$  も  $x = -nb$  の条件から次式の関係が得られる。

$$nb = -\frac{k}{\pi u_b r} \left[ \frac{\beta-\gamma}{\alpha-\beta} \log \left| \frac{\left(1+\frac{1}{\beta}\right)\left(1-\frac{1}{\alpha}\right)}{\left(1+\frac{1}{\alpha}\right)\left(1-\frac{1}{\beta}\right)} \right| + \log \left| \frac{\left(1+\frac{1}{\beta}\right)\left(1-\frac{1}{\beta}\right)}{\left(1+\frac{1}{\alpha}\right)\left(1-\frac{1}{\beta}\right)} \right| \right] \quad \dots \dots \dots (13)$$

(9), (10) および (13) 式から開口比  $\alpha$  および流量配合比  $K$  (または流出角  $\theta_0$ ) を定めると、 $\alpha, \beta, \gamma, n, \theta_0 (K)$  が決定される。

(3) 自由流線、魏流点および分流境界線　自由流線 CL の式は  $\xi = -1/t$  を助数とし  $\xi < 0$  の間に (12) 式から求められる。すなわち

$$x = -\frac{k}{\pi u_b r} \left[ \frac{\beta-\gamma}{\alpha-\beta} \log \left| \frac{\left(\xi+\frac{1}{\beta}\right)\left(1+\frac{1}{\alpha}\right)}{\left(\xi+\frac{1}{\alpha}\right)\left(1+\frac{1}{\beta}\right)} \right| + \log \left| \frac{\left(\xi+\frac{1}{\beta}\right)\left(1+\frac{1}{\beta}\right)}{\left(\xi+\frac{1}{\alpha}\right)\left(1+\frac{1}{\beta}\right)} \right| - nb \right] \quad \dots \dots \dots (14)$$

$$y = -\frac{2k}{\pi u_b r} \left[ \frac{(\beta-\gamma)/1-\alpha^2}{\alpha-\beta} \tan^{-1} \frac{\sqrt{(1-\alpha)(1-\xi)}}{(1+\alpha)(1+\xi)} - \frac{(\alpha-\gamma)/1-\beta^2}{\alpha-\beta} \tan^{-1} \frac{\sqrt{(1-\beta)(1-\xi)}}{(1+\beta)(1+\xi)} - \frac{\sqrt{\xi^2-1}}{2} \log \left| \frac{\sqrt{(1-\xi^2)(\xi^2-1)} + (\xi+\gamma)}{1+\xi^2} \right| \right]$$

D L' の式も  $-1 \leq \xi \leq \cos\theta_0$  の範囲で同様にして求められる。

魏流点  $S$  の位置は主水路側壁 DS' 上にあり、(12) 式で  $t=0$  において次式で与えられる。

$$x_S = -\frac{k}{\pi u_b r} \left[ \frac{\beta-\gamma}{\alpha-\beta} \log \frac{\beta(\alpha-1)}{\alpha(\beta-1)} + \log \frac{\beta(\gamma-1)}{\gamma(\beta-1)} + \frac{\sqrt{\gamma^2-1}}{(\alpha-\gamma)(\beta-\gamma)} \tan^{-1} \frac{\sqrt{\gamma^2-1}}{\gamma-1} \right] \quad \dots \dots \dots (15)$$

次に分流境界線 I' が表わす式は、その上で  $W = \phi + i(1-k)$  であり、中は実数である  $\phi, \psi$ , (11) 式の括弧内に虚部を 0 とする条件式、すなわち  $t = \xi + i\zeta$  と (2)

$$\alpha(\beta-\gamma) \tan^{-1} \frac{\zeta}{\xi-\alpha} + \beta(\gamma-\alpha) \tan^{-1} \frac{\zeta}{\xi-\beta} + \gamma(\alpha-\beta) \tan^{-1} \frac{\zeta}{\xi-\gamma} = 0 \quad \dots \dots \dots (16)$$

を満足する  $t$  について (12) 式を解くことによってえられる。壁面 DS' に沿つた断り流れの流速  $u$  は、 $u = -\partial \phi / \partial x$  であり、また  $W = \phi + i(1-k)$  であるから、(11) 式を微分すれば次式の関係が得られる。

$$u = -\frac{k t (\alpha-\gamma)(\beta-\gamma)}{\pi r (t-\alpha)(t-\beta)(t-\gamma)} \cdot \frac{dt}{dx} \quad \dots \dots \dots (17)$$

また DS では流方向  $\theta = \pi$  であるから、 $\Omega = -i \sec^{-1} t = \log(1 \pm \sqrt{1-t^2}/t) = \log(u_b/u)$  となり、 $u_b/u = 2$  である、 $t = 2\sqrt{1/(2^2+1)}$  が得られ、これを (17) 式へ代入して  $x = u/u_b$  の関係式と (2) 式が求められる。

$$\frac{dx}{d\zeta} = \frac{4\pi(\alpha-\gamma)(\beta-\gamma)(1-\zeta^2)}{\pi u_b r (\alpha\zeta^2 - 2\zeta + \alpha)(\beta\zeta^2 - 2\zeta + \beta)(\gamma\zeta^2 - 2\zeta + \gamma)} \quad \dots \dots \dots (18)$$

(8) 式を  $x=0$  で  $\zeta = 1$  から数値積分するとによって DS 沿いの流速分布が得られる。

いま、 $Q_u = 20 \text{ l/sec}$ ,  $h = 10 \text{ cm}$ ,  $n = 2$ ,  $K = 0.45$  の場合の自由流線形状、魏流点位置および分流境界線を (14), (15) および (16) 式を用いて計算した結果を実測値と比較して図-4 に示す。図中自由流線の実測値は実線で、計算値は破線で示している。分流境界線の計算値は点線で表わされ、実測値は水面お

より底面との流線が示されている。水面近くの分流境界線はポテンシヤル解があつてはまることを示しているが、底面では顕著な二次流の発生によって分流幅が著しく大きくなる。自由流線の計算結果と実測の制離境界線との差異は明らかに自由流線上では大気圧の仮定をおいているのに對し、実験の流れでは支水路右岸に流れが沿うような下流側圧力が作用すること、なうに制離領域での流速拡散が行なわれた結果であると言えられる。このことは計算による收縮係数 $\alpha$ の値が0.153であるに対し、実測によると最小有効幅が0.250であつた事実からもうかがえる。

憩流点SからDに向かう流速分布を(18)式で計算した結果が図-5に示される。底り流れは憩流点から序々に加速され、流出端附近で急激に速くなることがわかるが、実験で観察された結果でも分歧点での底り流れが微弱であり、分歧先端で急速に加速されることが認められた。

6. 流速分布特性 図-6には分歧部での2つの断面で測定された流下方向流速成分Uの鉛直分布を示す。

測定断面は分歧下流端より10cmおよび70cmの2断面で、測定距離Yは分流境界線より支水路側に向かう法線距離を表す。流下方向はいすゞとも水面との流向を基準としている。 $X = -70\text{ cm}$ では横断方向各測点ともほぼ同じ分布形を示しており、一様流速とみなせる上層厚さも明瞭であるが、 $X = -10\text{ cm}$ では底層流線の分歧水路への曲がり込みによって底層付近の左岸寄り流速は速くなり、一方上層流は制離領域での混合拡散によって減速するから一様分布に近くなることが示される。分流境界線附近では水面から底面にかけて連続的に流向が変化するために、水面流速が卓越する分布形を示した。図-7はLと直角方向の二次流成分Vの鉛直分布を示すが、流下とともに最大流速発生点が上昇し、また底層厚も次第に増加して不明確になると認められる。

#### 参考文献

- 1) 室田 明:開水路分流工の研究、土木学会論文集、第70号、別冊1-1、昭.35.10.

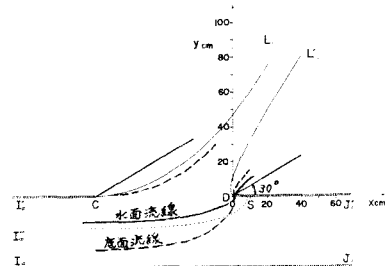


図-4 自由流線と分流境界線

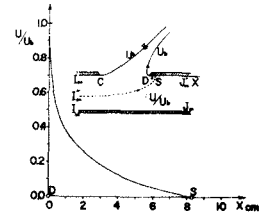


図-5 憩流点付近の流速分布

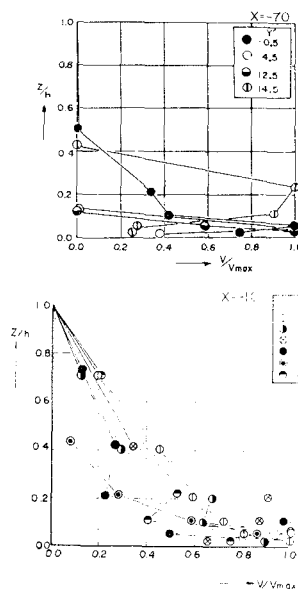


図-6 Uの鉛直分布

図-7 Vの鉛直分布